

IV.DIO - REDRESSEMENT PAR DIODES D'UN SIGNAL TRIANGULAIRE

Diode idéale / Redressement

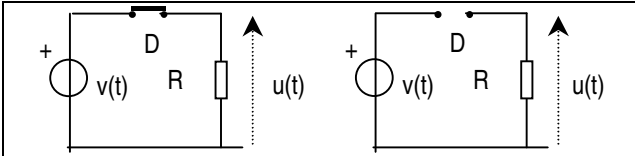
Modèle de la diode idéale

Redressement sur charge capacitive / Equation différentielle

Taux d'ondulation

1. Préliminaire

1) $0 < t < T/2$	$v(t) = E - E(4t/T) = E(1 - 4t/T)$	$v'(t) = -4E/T$
$T/2 < t < T$	$v(t) = -E + 4E(t - T/2)/T = E(-3 + 4t/T)$	$v'(t) = +4E/T$



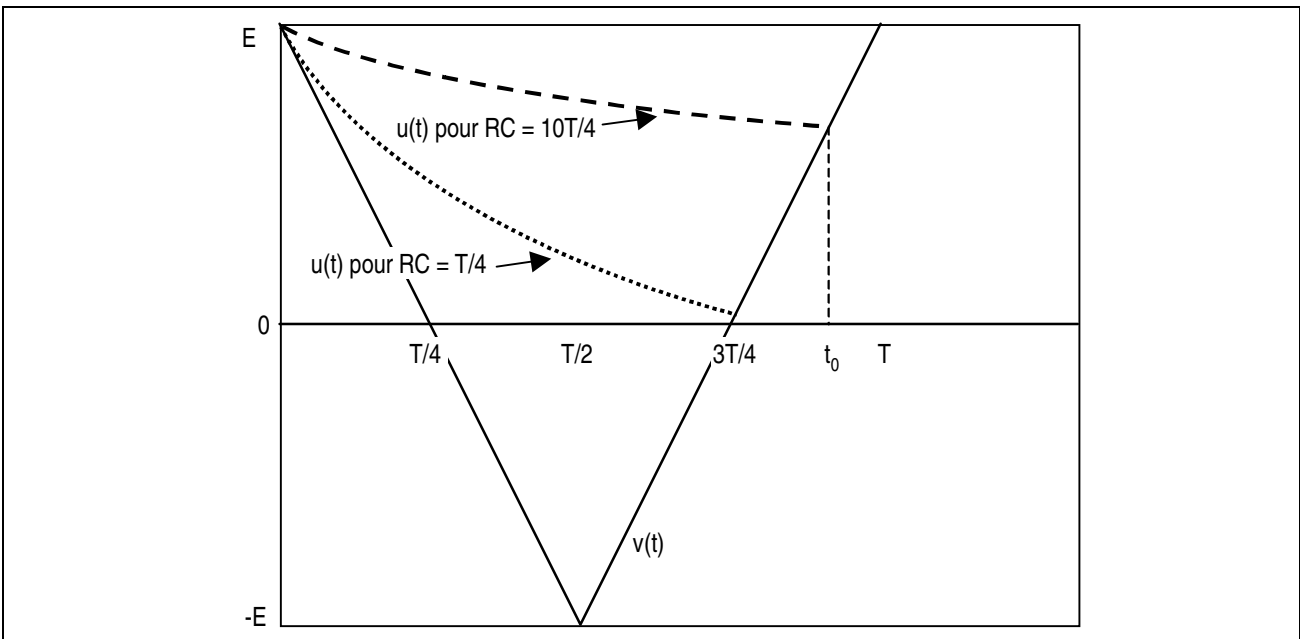
2. Redresseur

- | |
|----------------------------------------------------------------------------------------------------------|
| 1) $0 < t < T/2$: Diode = court circuit $\rightarrow u(t) = v(t)$ |
| $T/2 < t < T$: Diode = circuit ouvert $\rightarrow u(t) = 0$ |
| 2) I_D est maximum lorsque u est maximum, c'est-à-dire $u(0) = E$; $I_{Dmax} = E/R = 50 \text{ mA}$ |

3. Filtrage

- | |
|-----------------------------------------------------------------------------------------------------------|
| 1) On réalise un filtrage de la tension u par adjonction d'une capacité « réservoir ». |
| 2) $u(t) = E \exp[-t/(RC)]$ (décroissance exponentielle de constante de temps RC , jusqu'à Δt) |
| 3) $u(t) \approx E[1 - t/(RC)]$ jusqu'à Δt |
| déblocage de la diode lorsque $u(t_0) = v(t_0)$, soit $E[1 - t_0/(RC)] = E[-3 + 4t_0/T]$ |
| $t_0 = T/[1 + T/(4RC)] = 4RCT/(4RC + T)$ |

- | |
|-----------------------------------------------------------------------------------------------|
| Pour $RC = 10T/4$, $t_0 = 10T/11$ |
| 4) $u(t_0) = E[1 - t_0/(RC)] = E[1 - 4T/(RC + 4T)]$ |
| $\Delta U/U = 4T/(4T + RC)$ |
| $\Delta U/U < 0.1 \rightarrow C > 39T/4R \approx 195 \mu\text{F}$ (V.N. : $220 \mu\text{F}$) |
| Redresseur double alternance, par exemple pont de diodes. |
| 5) $i_D = i_R + i_C = u(t)/R + C du/dt = E(-3 + 4t/T)/R + C4E/T$ (pour $t_0 < t < T$) |
| $i_{Dmax} = E/R(1 + 4RC/T)$ pour $t = T$ |
| A.N. : $i_{Dmax} = 550 \text{ mA}$ (11 fois celui sans filtrage capacitif) |



V.DIO - POMPE A DIODES

Association diodes / capacités

Modèles linéarisés par morceaux des diodes en grands signaux
Lois physiques de base sur les capacités.

1. Transfert de charge

1) $Q_0 = Q_A + Q_B = C_A V_{A0} + C_B V_{B0}$

2) K fermé $\Rightarrow V_A = V_B$; $Q = C_A V_A + C_B V_B = (C_A + C_B) V_B$

3) La charge se conserve : $Q = Q_0$

$$V_B = \frac{C_A}{C_A + C_B} V_{A0} + \frac{C_B}{C_A + C_B} V_{B0} = k V_{A0} + (1-k) V_{B0} \text{ avec } k = C_A / (C_A + C_B)$$

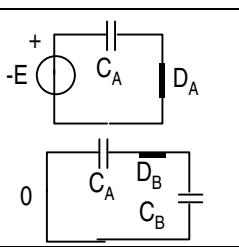
$$\Delta V_B = k V_{A0} + (1-k) V_{B0} = k (V_{A0} - V_{B0})$$

4) Energie stockée initiale : $E_0 = E_{A0} + E_{B0} = \frac{1}{2} (C_A V_{A0}^2 + C_B V_{B0}^2) = \frac{1}{2} C_B V_{B0}^2$

Energie stockée finale : $E = \frac{1}{2} (C_A + C_B) V_B = \frac{1}{2} (C_A + C_B) V_{B0} + k (V_{A0} - V_{B0}) = \frac{1}{2} (1-k) (C_A + C_B) V_{B0} = k E_0 < E_0$

Pertes d' énergie par effet Joule dans les connexions + pertes par rayonnement (impulsion de courant)

2. Pompe à diodes



1) $v_e < 0 \rightarrow D_B$ forcément bloquée : circuit ouvert dans la maille A, D_A polarisée en direct : court-circuit
 C_A se charge à $-v_e$, soit $+E \Rightarrow V_{A0} = E$.

C_B reste déchargé $\Rightarrow V_{B0} = 0$

2) C_A chargé positivement \rightarrow tension négative aux bornes de D_A : circuit ouvert

dans la maille A, D_B polarisée en direct : court-circuit

Transfert de charge entre C_A et C_B .

Cf transfert de charge $\rightarrow v_1 = kE$; $\Delta v_1 = kE$

3) Les mêmes commutations de diodes se produisent pendant toutes les périodes suivantes :

à nT : D_B se bloque, D_A est passante (C_A se charge à E , C_B garde sa charge)

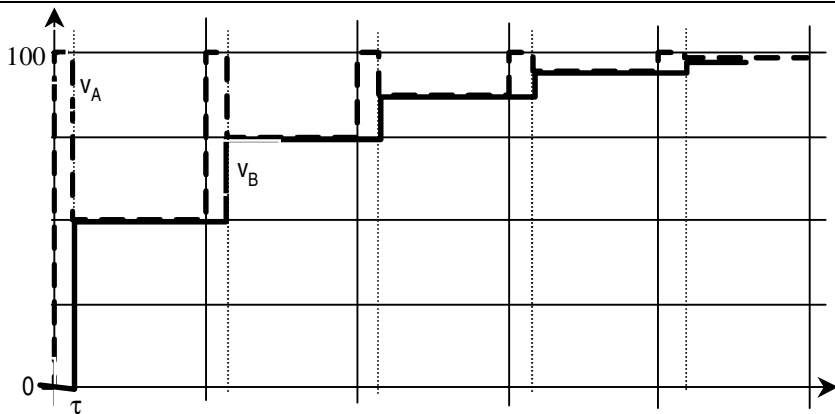
à $nT + \tau$: D_A se bloque, D_B est passante (transfert de charge de C_A vers C_B)

$$v_2 = kE + (1-k)kE = kE(2-k); \Delta v_1 = kE(1-k)$$

$$4) v_3 = kE + (1-k)(2-k)kE = kE(3-3k+k^2); \Delta v_1 = kE(1-k)^2$$

On peut voir $\Delta v_3 / \Delta v_2 = \Delta v_2 / \Delta v_1 = (1-k) = r$; avec 1^o terme $\Delta v_1 = kE$

On admettra que cette relation se généralise en $\Delta v_n = kE(1-k)^{n-1}$



$$5) v_n = v_0 + \Delta v_1 + \Delta v_2 + \dots + \Delta v_n$$

$$= 0 + \sum_{i=1}^n \Delta v_i = kE \sum_{i=1}^n (1-k)^{i-1}$$

$$v_n = kE \frac{1 - (1-k)^n}{1 - 1 + k};$$

$$= E [1 - (1-k)^n]$$

$$\lim_{n \rightarrow \infty} v_n = E \text{ car } 1-k < 1$$

$$6) k = \frac{1}{2} \rightarrow r = \frac{1}{2}$$

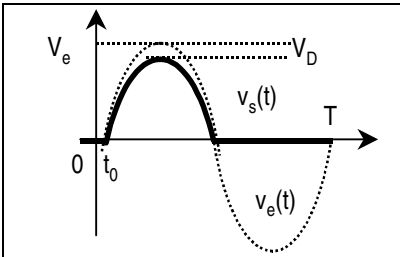
VI.DIO - REDRESSEUR A DIODES

Diodes / redressement

Diodes

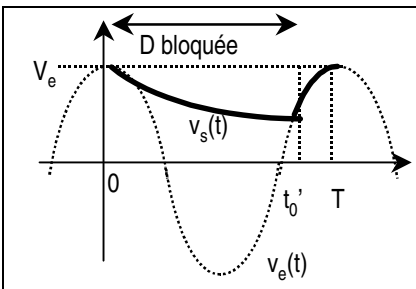
Redresseur, taux d'ondulation.

1. Redresseur simple alternance



- 1) $v_e < V_D \rightarrow D$ bloquée, $v_e > V_D \rightarrow D$ passante : $v_{e0} = V_D$.
- 2) $V_e \sin(2\pi ft_0) = v_{e0} = V_D \rightarrow t_0 = \text{Arcsin}(V_D/V_e) / (2\pi f) = T/(2\pi) \text{Arcsin}(V_D/V_e)$
- 3) $V_e < V_D \rightarrow i = 0$; $v_s = 0$.
 $V_e > V_D \rightarrow i = (v_e - V_D)/(R + R_s)$; $v_s = R/(R + R_s) [V_e \sin(2\pi ft) - V_D]$
- 4) Pour $V_D \rightarrow 0$, $\text{Arcsin}(V_D/V_e) \rightarrow 0$: $t_0 \rightarrow 0$: la diode est passante pendant la demi-période où $v_e > 0$
 Avec $R_s = 0$, $v_s = v_e$ pendant cette demi-période, 0 ailleurs.
- 5) $v_{\text{moyen}} = \frac{V_e}{T} \int_0^{T/2} \sin(2\pi ft) dt = \frac{V_e}{\pi}$; $v_{\text{seff}} = \sqrt{\frac{V_e^2}{T} \int_0^{T/2} \sin^2(2\pi ft) dt} = \frac{V_e}{2}$

2. Filtrage



- 1) $i = i_R + i_C = v_s/R + C dv_s/dt$, avec $v_s = v_e = V_e \cos(2\pi ft)$
 $i = V_e/R [\cos(2\pi ft) - 2\pi fRC \sin(2\pi ft)]$
- 2) à $t = t_e$, $i = 0 \rightarrow \cos(2\pi ft_e) = 2\pi fRC \sin(2\pi ft_e)$
 $\rightarrow t_e = T/(2\pi) \text{Atan}[T/(2\pi RC)]$
- 3) $RC \gg T \rightarrow t_e \rightarrow 0$
 Pour $t > t_e$, D bloquée : $v_s = RC dv_s/dt$;
 Cl : $v_s(t_e) \approx v_s(0) = V_e \rightarrow v_s = V_e e^{-t/(RC)}$
- 4) Pour, $RC \gg T$, $t/RC \ll 1 \rightarrow$ pendant la décharge : $v_s \rightarrow V_e [1 - t/(RC)]$
- 5 $\Delta v_s = v_s(t_e) - v_s(t_0') \approx v_s(0) - v_s(T) = V_e - V_e [1 - T/(RC)] \rightarrow \eta \approx T/(RC)$ si $v_{\text{moyen}} \approx V_e$
 $\eta < 10\% \rightarrow C > T/(\eta R)$. A.N. : 200 μF

3. Redresseur double alternance

- 1) Pour $v_e > 0$, D_1 et D_2 conduisent $\rightarrow v_s = v_e$
 Pour $v_e < 0$, D_2 et D_4 conduisent $\rightarrow v_s = -v_e$
 $\rightarrow v_s = |v_e|$
- 2) $v_{\text{moyen}} = 2x v_{\text{moyen}}(\text{mono}) = 2V_e/\pi$
 $v_{\text{seff}} = v_{\text{seff}}(\text{sinus}) = V_e/\sqrt{2}$.
- 3) On déduit les résultats concernant le redressement double alternance en remplaçant T par $T/2$ dans les relations concernant le simple alternance : si $RC \gg T/2$, on a $\eta \approx T/(2RC)$

4) Avantages :

- Diminution de η sans augmenter $C \rightarrow$ diminution du courant d'appel par les diodes + évite C trop grosse (peu fiable, et chère)
- Tension inverse moitié/ simple alternance ($-V_e$ au lieu de $-2V_e$)

Inconvénients :

- 2 diodes conduisent dans la maille $\rightarrow 2V_D$, et $2R_s$.
- 4 diodes : plus cher.
- surtout : montage en pont

\rightarrow PAS DE MASSE COMMUNE ENTRE v_e ET v_s

VII.DIO - REPARTITEUR DE SIGNAL A DIODES

Diodes / polarisation / schéma équivalent dynamique

Polarisation de diodes / caractéristique statique / droite de charge

Schéma équivalent aux petits signaux / résistance dynamique / capacités parasites

Diagramme de Bode

1. Etude de la polarisation

1a) Etude à l'équilibre :

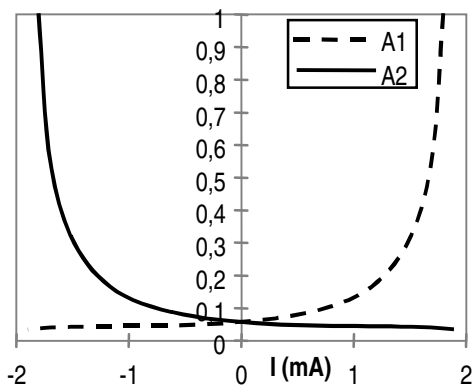
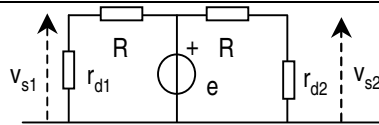
1) $I_0 = (E - V_D)/R$ ($A_N \approx 1.82$ mA)

2) La ddc passe par (1 V, 0) et (0, 4.54 mA) $\rightarrow P_0 \approx (0.6$ V, 1.8 mA) : modèle bien approprié.

1b) Courant de contrôle :

1) $I_1 = I_2 = I_0$, car avec le modèle choisi, $V_{s1} = V_{s2} = V_D$ ne varie pas $\rightarrow I_{D1} = I_0 - I$; $I_{D2} = I_0 + I$

2) Les diodes se bloquent quand $I_D = 0 \rightarrow I_M = I_0$



2b) Effet du courant de contrôle :

1) $r_d = U_T/I_D \rightarrow A_1 = U_T/[U_T + R(I_0 - I)]$; $A_2 = U_T/[U_T + R(I_0 + I)]$

$I = 0 \rightarrow A_1 = A_2 = U_T/(U_T + RI_0) \approx 61 \cdot 10^{-3}$;

$A_{min} = U_T/(U_T + 2RI_0) \approx 31 \cdot 10^{-3}$; $A_{max} = 1$

2c) Vérification :

Dans le « pire » cas, $A = 1 \rightarrow$ amplitude v_s max = 10 mV \ll 600 mV de polarisation

2. Etude dynamique en petits signaux basse fréquence

2a) Schéma équivalent dynamique :

2) $A_1 = r_{d1}/(R + r_{d1})$; $A_2 = r_{d2}/(R + r_{d2})$

3. Etude dynamique en petits signaux en hautes fréquences

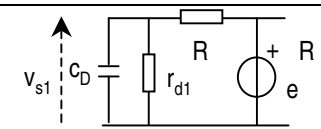
3a) Capacités parasites des jonctions PN :

1)2) capacités parasites aux bornes d'une jonction :

Capacité « géométrique » de transition, due à la zone désertée, dépend de la tension appliquée et varie donc surtout en polarisation inverse.

Capacité dynamique de diffusion provoquée par des variations de charges stockées lors de variations de courant \rightarrow nulle en inverse, croît avec le courant direct.

3b) Schéma équivalent dynamique



1) $A_1 = \frac{r_d}{r_d + R} \frac{1}{1 + j\omega(R||r_d)C_D}$

2) $A_1(j\omega) = \frac{U_T}{U_T + R(I_0 - I)} \frac{1}{1 + j\omega \frac{R\alpha U_T (I_0 - I)}{U_T + R(I_0 - I)}}$; $f_c = \frac{1}{2\pi} \frac{U_T + R(I_0 - I)}{R\alpha U_T (I_0 - I)}$

3c) Effet du courant de contrôle :

1) passe-bas du 1^o ordre ; $-I_M \rightarrow A_{10dB} \approx -30$ dB, $f_c \approx 420$ MHz ; $-I_M/2 \rightarrow A_{10dB} \approx -27$ dB, $f_c \approx 426$ MHz

$0 \rightarrow A_{10dB} \approx -24$ dB, $f_c \approx 435$ MHz ; $I_M/2 \rightarrow A_{10dB} \approx -18$ dB, $f_c \approx 460$ MHz

3d) Complément

$I \rightarrow I_M \rightarrow f_c \rightarrow \infty$. La diode se bloque \rightarrow il ne faut plus négliger la capacité de transition. Dans ce cas, on ne peut plus écrire $C_p \approx C_D \approx \alpha I_D$.

VIII.DIO - RESTAURATEUR A DIODE

1. Introduction

1a) Signal reçu

- 1) $V_{\text{moy}} = V_{\text{min}}\theta/T + V_{\text{max}}(T-\theta)/T = \eta V_{\text{min}} + (1-\eta)V_{\text{max}}$.
- 2) $E = V_{\text{max}} - V_{\text{min}}$; $0 = \eta(V_{\text{min}} - V_{\text{max}}) + V_{\text{max}} \rightarrow V_{\text{max}} = \eta E$; $V_{\text{min}} = (1-\eta)E$.
- 3) AN : $\eta = 1/16$; $V_{\text{max}} = 1/4 V$; $V_{\text{min}} = -15/4 = -3.75 V$

2. Restauration

2a) Charge du restaurateur.

- 1) $V_s = V + V_C + V_r$
- 2) Hyp : D bloquée $\rightarrow I = 0 \rightarrow V_s = V_r = -V_{AK} = V_{\text{min}} < 0 \rightarrow$ contredit l'hypothèse \rightarrow D est passante. $V_s = -V_D$ (AN $\approx 0.7 V$)
- 3) à $t = 0^+$, $V_C = 0 \rightarrow V = V_s - V_r = -(V_D + V_{\text{min}}) \rightarrow I(0^+) = -(V_D + V_{\text{min}})/R_g$
 $t \rightarrow \infty$, C est complètement chargé $\rightarrow I(\infty) = 0$. Charge d'un circuit CR de constante de temps $\tau = R_g C \rightarrow$ équ. Diff. du premier ordre de solution exponentielle, avec les limites précédentes $\rightarrow I(t) = I_0 e^{-\frac{t}{\tau_g}} = -\frac{V_D + V_{\text{min}}}{R_g} e^{-\frac{t}{\tau_g}}$.
- 4) $V_C(t) = V_s - V_r = -(V_D + V_{\text{min}}) - R_g I(t) = -(V_D + V_{\text{min}}) \left(1 - e^{-\frac{t}{\tau_g}}\right)$; $V_C(\infty) = -(V_D + V_{\text{min}})$
- 5) $I_0 e^{-\frac{\theta}{\tau_g}} \leq 0.05 I_0 \rightarrow \frac{\theta}{R_g \ln 20} \geq C$.
- 6) AN : $I_0 = 3 \text{ mA}$; $E_C = 3 V$; $C_M \approx 1.25 \text{ nF}$

2b) Conservation de la charge du restaurateur

- 1) Hyp : D bloquée à $t' = 0 \rightarrow V_s = V_r + V_C(0') = V_{\text{max}} + E_C > 0$, cqfd.
- 2) $I_C = 0 \rightarrow V_C = \text{cte} = E_C \rightarrow V_s = V_{\text{max}} + E_C = V_{\text{max}} - V_{\text{min}} - V_D = E - V_D$. On a aligné E sur $-V_D$.
- 3) $I_{e0} = (V_{\text{max}} + E_C)/(R_e + R_g)$
- 4) Décharge par R_g en série avec $R_e \rightarrow \tau = C(R_g + R_e)$; $V_s(0^+) \approx E - V_D$ (En réalité = $(E - V_D)R_e/(R_e + R_g)$); $V_s(\infty) = R_e I_e(\infty) = 0$.
 $\rightarrow V_s(t) = V_{s0} e^{-\frac{t}{\tau}}$
- 5) $0.95 V_{s0} \leq V_{s0} e^{-\frac{T-\theta}{\tau}} \rightarrow C \geq \frac{T-\theta}{-(R_g + R_e) \ln 0.95}$; AN : $C_m \approx 1.16 \text{ nF}$
- 6) Les deux contraintes sont presque incompatibles. On a peu de choix : en E12, on prend $C = 1.2 \text{ nF}$

